

ساخت و مشخصه‌یابی نانو حامل‌های لیپوزومی حاوی اسانس زنیان، به منظور مقابله با انگل تریکوموناس واژینالیس

فرزانه میرزایی^۱ (Ph.D)، محمد مجیدی‌زاده^۲ (M.Sc)، علی فتحی‌باققی^۱ (Ph.D)، راحله احسانی^۳ (M.Sc)، بی‌بی فاطمه حقیرالسادات^۴ (Ph.D)

- گروه انگل‌شناسی و قارچ‌شناسی، دانشکده پزشکی، دانشگاه علوم پزشکی شهید صدوقی یزد، یزد، ایران
- گروه زیست فناوری، شرکت ریز زیست فناوران فردانگ، پارک علم و فناوری یزد، یزد، ایران
- پژوهشکده علوم تولید مثل یزد، دانشگاه علوم پزشکی شهید صدوقی یزد، یزد، ایران
- مرکز تحقیقات نانوتکنولوژی پزشکی و مهندسی بافت، پژوهشکده علوم تولید مثل، دانشگاه علوم پزشکی شهید صدوقی یزد، یزد، ایران

تاریخ دریافت: ۱۳۹۸/۷/۶

نویسنده مسئول، تلفن: ۰۹۱۳۲۵۰۷۱۵۸ | تاریخ پذیرش: ۱۳۹۹/۶/۲

چکیده

هدف: سالیانه بخش زیادی از جمعیت دنیا به عفونت تریکومونیازیس، مبتلا می‌شوند. و از سوی دیگر داروهای رایج به منظور درمان این بیماری عوارض جانبی زیادی را ایجاد می‌کند. هدف از پژوهش حاضر ساخت سامانه‌ی لیپوزومی حاوی اسانس زنیان و بررسی واژگی‌های فیزیوشیمیایی آن، جهت مقابله با عفونت تریکومونیازیس می‌باشد.

مواد و روش‌ها: وزیکول‌های لیپوزومی با استفاده از فسفاتیدیل کولین (۷۰٪) و کلسترول (۳۰٪) و طی روش فیلم نازک تهییه شدند و اسانس زنیان درون لیپوزوم بارگذاری شد و میزان بارگذاری اسانس محاسبه شد. در ادامه اندازه، بار سطحی و مورفولوژی ذرات این سامانه با استفاده از دستگاه‌های زتا سایزر و میکروسکوپ نیروی اتمی و نحوه رهایش اسانس در دمای 35°C و $\text{pH}=6$ طی ۲۴ ساعت بررسی گردید.

یافته‌ها: وزیکول‌های لیپوزومی حاوی اسانس زنیان با اندازه $110/1\text{ nm}$ ، $40/12\pm 2/71\text{ nm}$ میزان بارگذاری اسانس، پتانسیل زتا - میلی ولت می‌باشد. سامانه لیپوزومی دارای رهایش کنترل شده بوده و طی ۲۴ ساعت همه اسانس را آزاد نموده است. میکروسکوپ نیروی اتمی نیز تشکیل لیپوزوم و مورفولوژی مناسب ذرات را تأیید نموده است.

نتیجه‌گیری: در پژوهش حاضر سامانه لیپوزومی حاوی اسانس زنیان، از درصد بارگذاری نسبتاً بالایی برخوردار است و بررسی شارژ سطحی، آنیونی بودن حامل را را تأیید می‌کند. بدین ترتیب با توجه به رهایش آهسته و کامل اسانس طی ۲۴ ساعت، این نانو حامل لیپوزومی می‌تواند حاملی مناسب برای رسانش اسانس به انگل تریکومونیازیس باشد.

واژه‌های کلیدی: لیپوزوم، نانو ساختارها، تریکوموناس واژینالیس، زنیان، گیاهان دارویی

زنیان می‌باشد. این گیاه علفی، یک‌ساله، بدون کرک و معطر که بخش دارویی آن را بذر تشکیل می‌دهد، با نام علمی *Trachyspermum ammi* متعلق به خانواده Apiaceae بوده و دارای گل‌های هرمافrodیت با گل‌برگ‌های سفید است که ارتفاع ساقه‌ی آن بین ۳۰ تا ۱۰۰ سانتی‌متر می‌باشد. گستره‌ی رویش این گیاه مربوط به کشورهای هند، مصر، افغانستان، پاکستان و ایران می‌باشد. خراسان، اصفهان، یزد، سیستان و بلوچستان، خوزستان، فارس و کرمان از جمله استان‌هایی هستند که رویشگاه این گیاه ارزشمند دارویی هستند. در طب سنتی از گیاه زنیان و ترکیبات آن به منظور کاهنده کلسترول، آرام‌بخش، موثر بر فعالیت آنزیم‌های گوارشی، ضد نفخ، ضد اسپاسم، ضد ترشی معده رفع ناراحتی‌های کبد، کلیه و گلو و

مقدمه

انسان‌ها از دیرباز فهمیده بودند که گیاهان دارای ترکیباتی هستند که می‌توان از آن‌ها به منظور درمان بیماری‌ها استفاده نمود. به گونه‌ای که یافته‌های باستان‌شناسی نشان می‌دهد که قدمت استفاده از گیاهان دارویی به پیش از ۲۶۰۰ سال پیش از میلاد بر می‌گردد [۱]. امروزه نیز از یک‌سو با آشکار شدن عوارض جانبی گستردۀ داروهای شیمیایی و از سوی دیگر با توجه به عوارض جانبی پایین ترکیبات گیاهی، طبیعی بودن آن‌ها و دسترسی آسان به منابع گیاهی، رجوع جوامع بشری به گیاهان دارویی و ترکیبات استخراج شده از آن‌ها به منظور برطرف نمودن احتیاجات دارویی، پیش از پیش افزایش یافته است [۲]. یکی از مهم‌ترین گیاهان دارویی در طب سنتی،

به صورت دولایه آرایش پیدا نمایند که در فضای درونی آن آب محصور گردد، در نتیجه این کره‌ی دولایه توانایی حمل داروهای آب‌دوست و آب‌گریز را دارد. زیست سازگار بودن، رهایش کنترل شده دارو، زیست تخریب‌پذیر بودن، حساسیت پایین دستگاه اینمی به لیپوزوم‌ها از مهم‌ترین شاخصه‌های لیپوزوم‌ها به عنوان حامل‌های دارویی است. در کنار تمامی مزایای یاد شده، استفاده از لیپوزوم با مشکلاتی هم‌چون، نیمه عمر پایین، پایداری کم و هزینه بالای تولید همراه است [۱۴-۱۷].

با توجه گسترش عفونت تریکومونیازیس، اثرات ضد انگلی اسانس زنیان و مزایای لیپوزوم به عنوان حامل ترکیبات دارویی، هدف از پژوهش حاضر، ساخت نانولیپوزوم‌های حاوی اسانس زنیان و بررسی فیزیکوشیمیایی این نانوحامل‌های حاوی اسانس از منظر درصد درون‌گیری انسانس، نحوه رهایش اسانس از نانوحامل لیپیدی، اندازه و بار سطحی نانوحامل حاوی اسانس و بررسی مورفولوژی نانوحامل حاوی اسانس می‌باشد.

مواد و روش‌ها

پژوهش حاضر نوعی مطالعه‌ی آزمایشگاهی می‌باشد که از سال ۱۳۹۷ خورشیدی به مدت ۵ ماه در پردیس بین‌الملل دانشگاه علوم پزشکی شهید صدوقی با کد اخلاق IR.REC.1397.694 به انجام رسیده است.

مواد مورد استفاده، برای انجام پژوهش حاضر گیاه Trachyspermum ammi از کوههای بهاباد استان یزد جمع‌آوری گردید. همچنین فسفاتیدیل کولین سویا و کلسترول متعلق به شرکت sigma-aldrich، ایزوپروپیل، متانول و کلروفرم متعلق به شرکت Merck تهیه و خریداری شد. ضمناً سایر محلول‌ها و حلال‌های مورد استفاده در پژوهش حاضر دارای گرند تحقیقاتی می‌باشند.

تهیه گیاه و اسانس گیری. گیاه Trachyspermum ammi در فصل تولید میوه (بذردهی) از کوههای شهرستان بهاباد استان یزد جمع‌آوری شد و نوع گونه‌ی آن توسط متخصصین گیاه‌شناسی دانشکده منابع طبیعی و کویرشناسی دانشگاه یزد و همچنین توسط متخصصین سازمان جهاد کشاورزی یزد تایید گردید. در پژوهش حاضر عمل اسانس‌گیری از بذر گیاه Trachyspermum ammi و به روش تقطیر در آب توسط دستگاه کلونجر استفاده شد. برای این منظور در هر مرتبه حدود ۱۰۰ گرم از بذر نمونه گیاهی را خرد کرده تا تبدیل به پودر شود. سپس پودر حاصل به همراه ۲۵۰ میلی‌لیتر آب درون بالن ۵۰۰ میلی‌لیتری ریخته شد و مجموعه‌ی حاصل را

غیره استفاده می‌شود. امروزه نیز مشخص شده است که اسانس زنیان با برخورداری از ترکیبات فعال نظیر تیمول، سایمن، آلفا پیسن، کارواکرول و گاما تریپین، دارای اثرات ضد باکتری، ضد ویروسی، ضد انگلی، ضد توموری و آنتی‌اکسیدانی است [۳-۸].

تریکوموناس واژینالیس نوعی انگل تک سلولی، یوکاریوت و متعلق به فرمانرو آغازیان می‌باشد. تریکوموناس واژینالیس تک سلولی تازکدار و شایع‌ترین انگل غیر ویروسی منتقله از طریق جنسی است که می‌تواند عفونت تریکومونیازیس را در مجاری ادراری-تناسلی ایجاد نماید، به گونه‌ای که سازمان جهانی بهداشت در سال ۲۰۰۸، حدود ۱۷۶ میلیون مورد مبتلا به این عفونت را در سرتاسر دنیا گزارش نموده است. عفونت تریکومونیازیس، با علائم بالینی ظییر تولید ترشحات بدبو و متعفن در مجاری ادراری-تناسلی، احساس درد هنگام ادرار و غیره همراه است که می‌تواند منجر به زایمان زودرس، پارگی زودرس کیسه آب و کمبود وزن نوزاد هنگام تولد شود. معمولاً به منظور درمان عفونت ناشی از این انگل تکسلولی، یوکاریوت و آغازی از دارویی مترونیدازول استفاده می‌شود که خود با عوارض جانبی گسترده ظییر سردرد، استفراغ، تهوع، خشکی دهان، سرگیجه همراه می‌باشد و حتی در مواردی سلطان‌زایی بالقوه، اثرات تراوتژنیک بر جنین و مقاومت دارویی نیز برای این دارو گزارش شده است [۹-۱۲].

با در نظر گرفتن اثرات ضد انگلی ترکیبات استخراج شده از گیاه زنیان و عوارض جانبی پایین ترکیبات گیاهی و شیوع رو به افزون عفونت انگلی تریکومونیازیس و عوارض جانبی داروهای شیمیایی رایج برای درمان این بیماری، به نظر می‌رسد ترکیبات موجود در اسانس بذر گیاه زنیان بتواند در درمان کم عارضه‌ی این بیماری موثر باشد. ولی استفاده از ترکیبات گیاهی از جمله اسانس‌ها با چالش‌های مهمی از جمله اکسیدپذیری بالا، جذب پایین، اثرباری کم همراه می‌باشد که کاربرد آن‌ها را در مصارف بالینی با محدودیت‌هایی روبرو نموده است [۱۳]. بنابراین استفاده از استراتژی‌های نوین در رسانش ترکیبات استخراج شده از گیاهان دارویی به سلول‌های هدف ضروری می‌باشد. یکی از این استراتژی‌های نوین در رسانش ترکیبات گیاهان دارویی به مواضع هدف، نانوحامل‌های لیپیدی از جمله لیپوزوم است. لیپوزوم‌ها ترکیباتی آب‌گریز می‌باشند که بخش اصلی آن را فسفولیپید تشکیل می‌دهد و در ساختار آن از ترکیبات پایدارکننده از جمله کلسترول استفاده می‌شود. برای تشکیل لیپوزوم، فسفولیپیدها در محیط آبی قرار داده می‌شوند تا

دیالیز نموده و به مدت یک ساعت درون بشری با 450cc آب مقطر و در دمای 4°C قرار داده شد تا اسانس آزاد و درون گیر نشده حذف گردد. سپس لیپوزوم‌های ساخته شده را با نسبت ۱ به ۲۰ با ایزوپروپیل مخلوط کرده تا دیواره لیپیدی اطراف اسانس *Trachyspermum ammi* شکسته شود و اسانس آزاد گردد. در مرحله بعد میزان جذب اسانس برگذاری شده درون سامانه لیپوزومی با استفاده از دستگاه اسپکتروفتومتری در طول موج ماقریم اسانس *Trachyspermum ammi* محاسبه شد. در پایان با استفاده از نمودار استاندارد اسانس *Trachyspermum ammi* در ایزوپروپیل، و رابطه زیر، درصد نمودار استاندارد اسانس *Trachyspermum ammi* در سامانه لیپوزومی سنجیده شد [۱۳].

$$\frac{\text{نمودار اسانس محصور شده}}{\text{نمودار اسانس اولیه}} \times 100 = \text{نامن} \text{ بارگذاری اسانس}$$

بررسی روند رهایش اسانس از سامانه لیپوزومی. بررسی رهایش اسانس از سامانه لیپوزومی با استفاده از روش کیسه دیالیز صورت گرفت. در این روش مقدار مشخصی از لیپوزوم حاوی اسانس *Horiba* در کیسه دیالیز ریخته شد و در مجاورت با باfer PBS در دمای 25°C و $\text{pH}=6$ به مدت ۲۴ ساعت قرار گرفت و در فواصل زمانی نیم، ۱، ۲، ۳، ۶، ۹، ۱۲، ۲۴ و ۲۴ ساعت، مقدار مشخصی از باfer PBS اطراف کیسه دیالیز برداشته و مقدار جذب آن توسط دستگاه اسپکتروفتومتر خوانده شد و بر اساس آن، نمودار رهایش اسانس از لیپوزوم رسم گردید [۱۳].

تعیین اندازه نانوذرات و پتانسیل زتا سامانه لیپوزومی حاوی اسانس *Trachyspermum ammi*. محدوده توزیع اندازه ذرات و همچنین پیک اندازه ذرات با استفاده از دستگاه تفرق دینامیکی نور (DLS) تعیین می‌شود که بدین منظور از دستگاه نانوسایزر *Horiba* استفاده گردید. اندازه گیری نانولیپوزوم‌ها در یک زاویه 90° درجه و تابش نور لیزر با طول موج 657nm در دمای 5°C صورت گرفت نمونه مورد استفاده به صورت رقیق شده در غلظت 1 mg/ml آماده گردید. و بلافاصله پس از آماده‌سازی اندازه گیری صورت گرفت. همچنین اندازه گیری نمونه‌ها در 3° مرتبه و هر مرتبه به مدت ۳۰ ثانیه انجام گردید. همچنین میزان بار سطحی (پتانسیل زتا) نانو لیپوزوم‌های حامل اسانس با استفاده از دستگاه زتا-سایزر شرکت *Brookhaven Instruments Corp* در دمای 25°C اندازه گیری گردید.

تصویربرداری از سامانه لیپوزومی حاوی اسانس *Trachyspermum ammi* با استفاده از

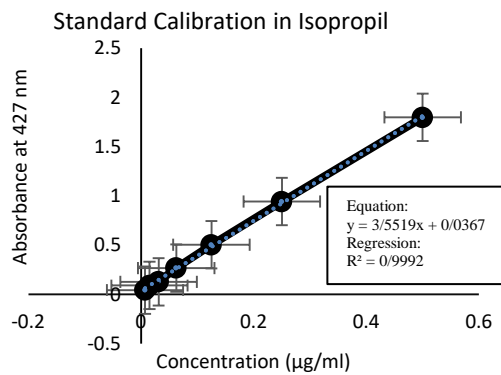
به دستگاه کلونجر متصل نموده و به مدت ۴ ساعت اسانس گیری انجام شد. در پایان، اسانس تولید شده، از دستگاه کلونجر خارج کرده و برای انجام مراحل بعدی جمع‌آوری گردید [۱۳].

رسم نمودار استاندارد اسانس *Trachyspermum ammi* در ایزوپروپیل و باfer (Phosphate Buffered Saline). در این مرحله ابتدا استوک 1 mg/ml اسانس *Trachyspermum ammi* در حلal متابول تهیه گردید و با استفاده از آن، سری رقت‌های مختلف اسانس زنیان در حلal ایزوپروپیل تهیه گردید. سپس به کمک دستگاه اسپکتروفتومتر، میزان جذب هر یک از رقت‌ها اندازه گیری شد. آزمایش در این مرحله سه مرتبه تکرار گردید و سپس با استفاده از طول موج‌های جذبی به دست آمده، نمودار استاندارد اسانس *Trachyspermum ammi* در ایزوپروپیل رسم گردید. همچنین به منظور رسم نمودار استاندارد اسانس *Trachyspermum ammi* در باfer PBS، ابتدا استوک 1 mg/ml اسانس در حلal متابول تهیه گردید و سپس با استفاده از آن، سری رقت‌های مختلف اسانس در حلal PBS تهیه گردید و با استفاده از دستگاه اسپکتروفتومتر، میزان جذب هر یک از رقت‌ها اندازه گیری شد. آزمایش در این مرحله نیز سه مرتبه تکرار گردید و سپس با استفاده از طول موج‌های جذبی به دست آمده، نمودار استاندارد اسانس *Trachyspermum ammi* در PBS رسم گردید [۱۳].

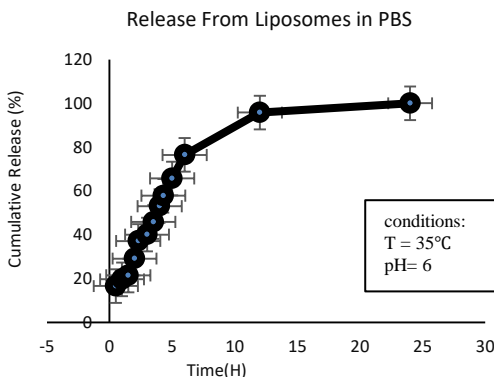
ساخت سامانه لیپوزومی حاوی اسانس *Trachyspermum ammi*. سامانه لیپوزومی حاوی اسانس *Trachyspermum ammi* اسانس *Trachyspermum ammi* نازک و با ترکیبی شامل فسفاتیدیل کولین سویا (70% ، کلسترول 30%) و اسانس *Trachyspermum ammi* با غلظت 1 mg/ml تهیه گردید، که خلاصه آن بدین شرح است: ابتدا فسفاتیدیل کولین سویا، کلسترول و اسانس *Trachyspermum ammi* در حلal کلروفرم و در دمای 45°C بر روی روتاری (هایدلوف، آلمان) حل شده و تحت شرایط خلا، فیلم نازک خشک تهیه گردید. سپس عمل هیدراته کردن با افزودن آب مقطر استریل طی مدت یک ساعت و در دمای 55°C انجام گردید. در ادامه نانوذرات تهیه شده، با استفاده از سونیکیت حمامی برای مدت ۴۰ دقیقه کاهش سایز داده شد. در پایان مخلوط کاهش سایز داده شده با استفاده از فیلترهای $0.45\text{ }\mu\text{m}$ و $0.20\text{ }\mu\text{m}$ میکرومتر، فیلتر شده تا ذرات سازنده آن همگن گردند [۱۳].

تعیین درصد بارگذاری اسانس در سامانه لیپوزومی. لیپوزوم‌ها را بعد از کاهش سایز و فیلتراسیون، وارد کیسه

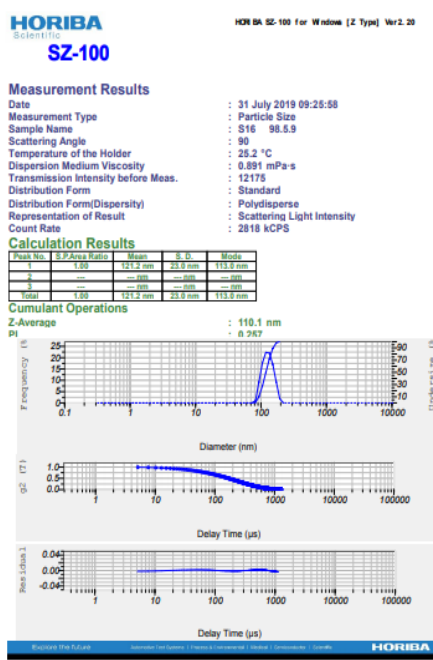
الکترونی نیروی اتمی مورد بررسی قرار گرفت و حضور و تشکیل لیپوزوم‌ها تایید شد. هم‌چنین تصویر حاصل از AFM نشان می‌دهد که نانوذرات سازنده‌ی سامانه‌ی حاوی اسانس، ضمن برخورداری از پراکندگی مناسب و عدم تجمع ذرات سازنده، دارای مورفولوژی کروی می‌باشند (شکل ۶).



شکل ۲. نمودار استاندارد اسانس *Trachyspermum ammi* در PBS



شکل ۳. نمودار رهایش اسانس *Trachyspermum ammi* در PBS

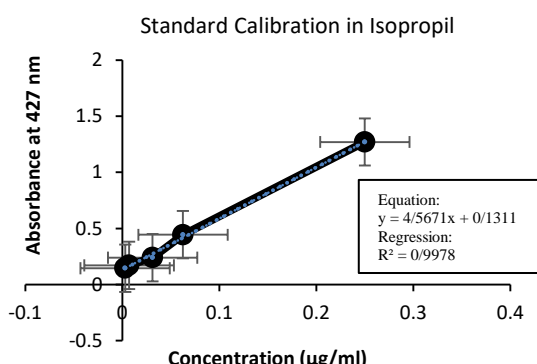


شکل ۴. اندازه ذرات سامانه لیپوزومی حاوی اسانس *Trachyspermum ammi*

میکروسکوپ نیروی اتمی (Atomic Force microscope) به منظور بررسی شکل و ساختار نانولیپوزوم‌های تولیدی حامل اسانس تصویر گرفته شد.

نتایج

بررسی میزان بارگذاری (درون‌گیری) اسانس درون سامانه لیپوزومی و الگوی رهایش اسانس از سامانه لیپوزومی. با استناد به نمودار استاندارد اسانس *Trachyspermum ammi* در ایزوپروپیل (شکل ۱) و با استفاده از رابطه‌ی ۱، میزان بارگذاری اسانس *Trachyspermum ammi* درون سامانه لیپوزومی محاسبه گردید. هم‌چنین با استناد به نمودار استاندارد اسانس *Trachyspermum ammi* (شکل ۲)، نمودار رهایش اسانس *Trachyspermum ammi* از سامانه لیپوزومی در دمای ۳۵°C و pH=۶ طی ۲۴ ساعت رسم گردید. بررسی الگوی رهایش اسانس از سامانه لیپوزومی (شکل ۳) نشان می‌دهد که رهایش انفجری اسانس در ساعات اولیه (از ابتدای رهایش تا ۶ ساعت پس از رهایش) و کند شدن میزان رهایش اسانس در ساعات پایانی (بازه‌ی ۱۲ تا ۲۴ ساعت پس از رهایش) از مشخصه‌های رهایش اسانس از سامانه لیپوزومی در پژوهش حاضر می‌باشد.



شکل ۱. نمودار استاندارد اسانس *Trachyspermum ammi* در ایزوپروپیل

بررسی اندازه و بار سطحی (پتانسیل زتا) سامانه لیپوزومی حاوی اسانس *Trachyspermum ammi*. نتایج حاصل از DLS نشان می‌دهد که اندازه ذرات سامانه لیپوزومی حاوی اسانس ۱۱۰/۱ nm می‌باشد (شکل ۴). هم‌چنین میزان بار سطحی (پتانسیل زتا) سامانه لیپوزومی حاوی اسانس -۹mV محاسبه گردیده است (شکل ۵).

نتایج حاصل از میکروسکوپ نیروی اتمی. مورفولوژی نانو سامانه لیپوزومی حاوی اسانس به وسیله میکروسکوپ

لیپوزوم و غیره بستگی دارد. درصد بارگذاری $40/12\pm2/71$ در پژوهش حاضر با توجه به ماهیت فرار انسانس، می‌تواند مناسب باشد، به گونه‌ای که پژوهش‌های مشابه نیز میزان بارگذاری انسانس را در سامانه‌های لیبیدی، نزدیک به نتایج پژوهش حاضر گزارش نموده‌اند. حقیرالسادات و همکاران در سال ۲۰۱۶، میزان بارگذاری انسانس زنیان را در سامانه‌ی لیپوزومی $35/6\%$ گزارش نموده است [۱۸].

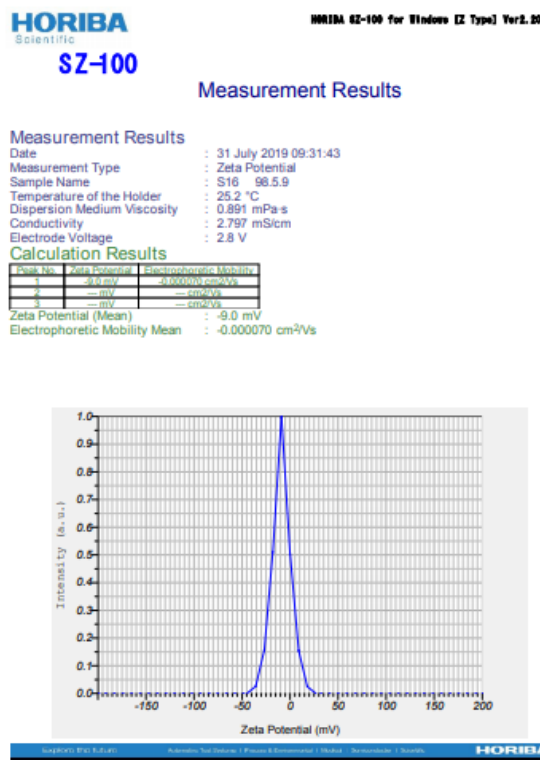
از دیگر شاخصه‌های پژوهش حاضر، الگوی رهایش انسانس *Trachyspermum ammi* از سامانه‌ی لیپوزومی pH=۶ می‌باشد. به گونه‌ای که انسانس زنیان در دمای 25°C و $\text{pH}=6$ ضمن رهایش آهسته، در پایان ۲۴ ساعت، به طور کامل از سامانه‌ی لیپوزومی آزاد گردیده است. گزارش رهایش آهسته انسانس از سامانه‌های لیپوزومی را می‌توان در پژوهش‌های حقیرالسادات و همکاران در سال ۲۰۱۶، مجدی‌زاده و همکاران در سال ۲۰۱۸ و برکت و همکاران در سال ۲۰۱۹ مشاهده نمود [۱۳، ۱۸، ۱۹].

شاخصه‌ی دیگر سامانه‌ی لیپوزومی حاصل از پژوهش حاضر بار سطحی (پتانسیل زتا) منفی آن می‌باشد. زیاد بودن بار سطحی سامانه می‌تواند منتهی به افزایش پایداری سامانه گردد. زیرا افزایش بار سطحی مشابه باعث افزایش نیروی دافعه‌ی کولنی میان ذرات نانو سامانه شده و از تجمع و رسوب ذرات سامانه جلوگیری می‌کند، بنابراین پایداری سامانه‌ی لیپوزومی افزایش می‌یابد [۲۰-۲۲].

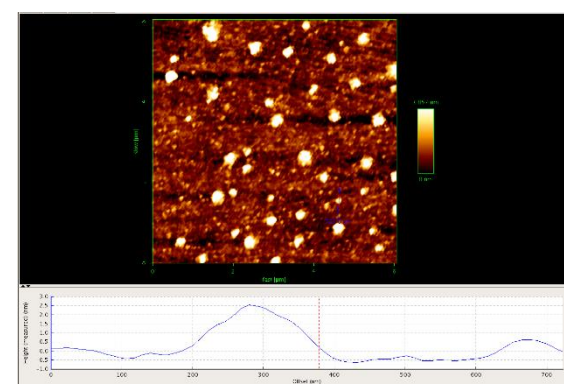
یکی از شاخصه‌های مهم مورد ارزیابی در پژوهش حاضر، اندازه ذرات سامانه‌ی لیپوزومی است که در میزان سمیت، سرنوشت بیولوژیکی و رسانش دارو در یک سامانه‌ی دارو رسانی، نقش تعیین‌کننده‌ای دارد. سامانه‌های دارویی با اندازه ذراتی در مقیاس نانو نسبت به ذرات بزرگ‌تر از جذب سلولی بالاتری برخوردار می‌باشند، زیرا این ذرات به واسطه اندازه کوچک، می‌توانند به شکل آسان‌تری وارد فضای سلول‌های مختلف گردند و حتی از سدهای طبیعی بدن نظیر سد خونی-مغزی عبور نمایند [۲۳]. در پژوهش حاضر، داده‌های حاصل از DLS نشان می‌دهد که اندازه ذرات سامانه‌ی لیپوزومی حاوی انسانس از اندازه‌های در مقیاس نانو برخوردار می‌باشد.

تاکنون پژوهش‌های متعددی در زمینه‌ی بارگذاری انسانس در سامانه‌های لیبیدی انجام گرفته است که به بخشی از آن در زیر اشاره خواهد شد.

انسانس *Celia* و همکاران در سال ۲۰۱۳ نانو لیپوزوم‌های حاوی عصاره ترنج را تهیه نمودند که این نانو ذرات ضمن افزایش میزان حلالت عصاره و بهبود شاخصه‌های ضد سرطانی آن، دارای پتانسیل زتا 6 و اندازه ذرات 186 nm بودند [۲۴].



شکل ۵. بار سطحی (پتانسیل زتا) سامانه‌ی لیپوزومی حاوی انسانس *Trachyspermum ammi*



شکل ۶. تصویر حاصل از میکروسکوپ نیروی اتمی

بحث و نتیجه‌گیری

پژوهش حاضر منتهی به ساخت سامانه‌ی لیپوزومی حاوی انسانس *Trachyspermum ammi* که ضمن برخورداری از بازده درون‌گیری $40/12\pm2/71$ %، دارای بار سطحی منفی و موکولوژی مناسب می‌باشد. رهایش انسانس از این سامانه نانو مقیاس طی ۲۴ ساعت، در مجموع آهسته بوده و سامانه در پایان ۲۴ ساعت تمامی انسانس محصور شده را رها نموده است.

یکی از ویژگی‌های فیزیوشیمیایی مورد بررسی در پژوهش حاضر، بازده درون‌گیری است. این شاخصه پر اهمیت به عوامل مختلفی از جمله نوع و درصد لیبیدهای به کار رفته در ساختمان لیپوزوم، نوع و ماهیت ماده‌ی بارگذاری شده در

بارگذاری بیشتر و اندازه ذرات کوچک‌تر از جمله مزایای پژوهش حاضر نسبت به پژوهش حقیرالسادات است.

قره نقده و همکاران در سال ۲۰۱۷، نانولیپوزوم‌های حاوی عصاره مریم گلی با فرمول‌های مختلف (۰-۹۰، ۰-۸۰ و ۱۰-۲۰ میلی‌گرم) تهیه نمودند که اندازه ذرات و شاخص پراکنده‌گی ذرات به ترتیب در محدوده ۸۸-۸۲ نانومتر و ۰/۳۹-۰/۴۲ و میزان درون پوشانی عصاره در تمامی فرمول‌ها بالای ۷۰٪ گزارش شده است [۲۹].

نادری نژاد و همکاران در سال ۲۰۱۷، لیپوزوم‌های حاوی کورکومین به منظور اثرگذاری بر سلطان استخوان تهیه کرده و گزارش نمودند که کورکومین لیپوزومه نسبت به کورکومین آزاد، به نسبت بیشتری مانع رشد سلول‌های سلطان استخوان می‌شود [۳۰]. عبدالملکی و همکاران در سال ۲۰۱۷، به بررسی اثر ضد سلطانی عصاره گیاه رزماری بر سلول‌های سلطانی پستان رده MCF-7 و SKBR-3 و سلول‌های فیبروبلاست HU02 پرداختند و گزارش نمودند که، عصاره رزماری دارای اثر ضد سلطانی وابسته به غلظت و زمان بر روی رده سلولی MCF-7 و SKBR3 است، در حالی‌که سمیتی بر سلول‌های فیبروبلاست نداشته است [۳۱]. پژوهش نادری نژاد و پژوهش عبدالملکی نشان می‌دهد که انکپسوله کردن ترکیبات گیاهی می‌تواند خاصیت ضد سلطانی آن‌ها را افزایش دهد.

مجدى‌زاده و همکاران در سال ۲۰۱۸، نانولیپوزوم‌های آهسته رهش حاوی عصاره نعناع فلفلی را با درصد بارگذاری ۰/۳۲، ۰/۶۱ و ۰/۴۵ nm پتانسیل زتای -۳۴/۵۴ mV- تهیه نمودند [۱۲]. پژوهش مجدى‌زاده از نقطه نظر درصد درون‌گیری به دلیل تشابه در نوع نانو ذره، روش ساخت و ماهیت ماده انکپسوله شده تا حدودی نزدیک به پژوهش حاضر می‌باشد. هرچند میزان بار سطحی و اندازه ذرات سامانه‌ی لیپوزومی در پژوهش مجدى‌زاده نسبت به پژوهش حاضر بیشتر می‌باشد.

کریمی‌مقدم و همکاران در سال ۲۰۱۹ سامانه‌ی لیپیدی نیوزومی حاوی سیلیبینین را تهیه نمودند و گزارش نمودند که سامانه‌ی مذکور دارای بازده درون‌گیری $\pm 5\%$ ۹۲/۸۷٪، اندازه ذرات ۱۱۸ nm و ۱۱۸ mV و ۳۱/۳۳٪-۰/۹ می‌باشد. تفاوت در نوع ترکیبات به کار رفته در ساختمان سامانه و ماهیت و نوع ماده درون‌گیر شده از جمله عوامل موثر بر تفاوت نتایج پژوهش کریمی‌مقدم با پژوهش حاضر است. هر چند رهایش آهسته ماده‌ی درون‌گیری شده از جمله تشابهات میان نتایج پژوهش حاضر با پژوهش کریمی‌مقدم است [۳۲].

اندازه کوچک‌تر و بار سطحی بیشتر سامانه لیپوزومی در پژوهش حاضر، از مزایای مطالعه‌ی حاضر نسبت به پژوهش Celia می‌باشد.

حق جو و همکاران در سال ۲۰۱۵ نانولیپوزوم‌های حاوی عصاره گزنه در غلظت‌های مختلفی از فسفاتیدیل کولین و کلسترول تهیه نمودند که حداقل میزان درون پوشانی عصاره ۸۳/۶۸، محدوده اندازه ذرات بین ۹۴ تا ۸۱ نانومتر و شاخص پراکنده‌گی ذرات مانند پژوهش حاضر، ۰/۳ گزارش شده است [۲۵]. اندازه ذرات کوچک‌تر و درصد درون‌گیری بالاتر از جمله مزایای پژوهش حق جو نسبت به پژوهش حاضر است. به نظر می‌رسد که تفاوت در ماهیت ماده بارگذاری شده و تفاوت در درصد مولی لیپیدهای سازنده سامانه‌ی لیپوزومی از جمله دلایل تفاوت در نتایج این دو پژوهش باشد.

بشیری و همکاران در سال ۲۰۱۵، نانولیپوزوم‌های حاوی بتاکاروتن تهیه نمودند و به بررسی میزان پایداری این ذرات با گذشت زمان پرداختند. آن‌ها گزارش کرده‌اند که اندازه نانولیپوزوم‌های تهیه شده در حدود ۶۴ nm بوده و میزان درون پوشانی در بهترین فرمول حدود ۷۷/۸۹٪ بوده است [۲۶]. درون‌گیری بیشتر و اندازه ذرات کوچک‌تر از مزایای پژوهش بشیری نسبت به پژوهش حاضر است که این تفاوت در نتایج می‌تواند به دلیل تفاوت ماهیت ماده بارگذاری شده در دو پژوهش باشد. ابراهیمی خوسفی و همکاران در سال ۲۰۱۵، لیپوزوم‌های حاوی عصاره آویشن شیرازی تهیه نمودند که درصد درون پوشانی را در نقطه بهینه ۴/۵۴٪ گزارش نمودند. درصد درون پوشانی در پژوهش ابراهیمی خوسفی نسبت به پژوهش حاضر بیشتر است [۲۷].

Haiying Cui و همکاران در سال ۲۰۱۵ نانولیپوزوم‌های حاوی عصاره میخک تهیه نمودند که اندازه نانو ذرات را بین ۱۹۶/۰، ۷۸/۳ تا ۱۵۶/۱ نانومتر، شاخص پراکنده‌گی ذرات را ۴/۲۰٪ گزارش نمودند [۳۳]. نتایج پژوهش Haiying Cui تا حدودی نزدیک به پژوهش حاضر می‌باشد، هرچند میزان درون پوشانی انسان در پژوهش حاضر نسبت به پژوهش Haiying Cui بیشتر می‌باشد [۲۸].

حقیرالسادات و همکاران در سال ۲۰۱۶ نانو ذرات لیپیدی حاوی عصاره زنیان تهیه نمودند که میزان انکپسولاپسون عصاره ۶/۳۵٪ و اندازه نانوذرات حاوی عصاره ۱۸۶/۱ nm بوده است. هم‌چنین پتانسیل زتای نانو ذرات در این پژوهش بین ۱-۶/۷ تا -۶/۷-۲۴/۵ و میزان درون پوشانی را تا حدودی نزدیک به پژوهش حاضر می‌باشد، هرچند میزان درون پوشانی انسان در پژوهش حاضر نسبت به پژوهش حقیرالسادات مشابه پژوهش حاضر می‌باشد ولی پتانسیل زتای بالاتر، درصد

- [8] Jebelli Javan A. Combinational effects of trachyspermum ammi and Zataria multiflora Boiss essential oils on some pathogenic food-borne bacteria. Koomesh 2016; 17: 374-383. (Persian).
- [9] Hodiwala-Bhesania A, Narayankhedkar A. Trichomoniasis-A Review. International Journal of Current Microbiology and Applied Sciences. 2016; 5(6):731-741.
<https://doi.org/10.20546/ijcmas.2016.506.079>
- [10] Kashan ZF, Delavari M, Arbabi M, Hooshyar H. Therapeutic effects of Iranian herbal extracts against Trichomonas vaginalis. Iran Biomed J 2017; 21: 285.
<https://doi.org/10.18869/acadpub.ibj.21.5.285>
- [11] Kissinger P. Trichomonas vaginalis: a review of epidemiologic, clinical and treatment issues. BMC Infect Diseases 2015; 15: 307.
<https://doi.org/10.1186/s12879-015-1055-0>
- [12] Vazini H, Esboei BR. In vitro study of the effect of hydroalcoholic extracts of Carum copticum and Ferula asafetida against Trichomonas vaginalis. Sci J Kurdistan Univ Med Sci 2018; 23.
- [13] Majdizadeh M, Rezaei Zarchi S, Movahedpour AA, Shahi Malmir H, Sasani E, Haghirsadat BF. A new strategy in improving therapeutic indexes of medicinal herbs: preparation and characterization of nano-liposomes containing *Mentha piperita* essential oil. SSU J 2018; 25: 853-864. (Persian).
- [14] Amoabediny G, Haghirsadat F, Naderinezhad S, Helder MN, Akhoundi Kharanaghi E, Mohammadnejad Arough J, Zandieh-Doulabi B. Overview of preparation methods of polymeric and lipid-based (níosome, solid lipid, liposome) nanoparticles: A comprehensive review. Int J Polymeric Materials Polymeric Biomaterials 2018; 67: 383-400.
<https://doi.org/10.1080/00914037.2017.1332623>
- [15] Daraee H, Etemadi A, Kouhi M, Alimirzalu S, Akbarzadeh A. Application of liposomes in medicine and drug delivery. Artif Cells Nanomed Biotechnol 2016; 44: 381-391.
<https://doi.org/10.3109/21691401.2014.955107>
<https://doi.org/10.3109/21691401.2014.953633>
PMid:25222036
- [16] Cheraghi M, Negahdari B, Daraee H, Etemadi A. Heart targeted nanoliposomal/nanoparticles drug delivery: An updated review. Biomed Pharmacother 2017; 86: 316-323.
<https://doi.org/10.1016/j.bioph.2016.12.009>
PMid:28011379
- [17] Dua JS, Rana AC, Bhandari AK. Liposome: methods of preparation and applications. Int J Pharm Stud Res 2012; 3: 14-20.
- [18] Haghirsadat FA, Azhdari MA, Kalantar SM, Naderinezhad SA, Teymourizadeh KE, Yazdani MO, et al. Strategy of Improvements in the therapeutic index of medicinal herbs of Iranian indigenous: Synthesis and characterization of phospholipid lipid-based vesicles in incorporated *Trachyspermum copticum*. SSU J 2016; 24: 468-478. (Persian).
- [19] Barakat F, Abooe-Mehrizi F, Haghirsadat BF, Sedighi-Khavidak S, Ashkezari MD. Designing and optimization of liposomal nano-carriers containing *Nepeta persica* extract and study of its cytotoxicity on the breast cancer cell line (MCF-7). J Shahid Sadoughi Univ Med Sci 2019; 27: 1202-1215. (Persian).
<https://doi.org/10.18502/ssu.v27i2.1041>
- [20] Honary S, Zahir F. Effect of zeta potential on the properties of nano-drug delivery systems-a review (Part 2). Tropic J Pharmace Res 2013; 12: 265-273.
<https://doi.org/10.4314/tjpr.v12i2.20>
<https://doi.org/10.4314/tjpr.v12i2.19>
- [21] Zhao W, Song Zhuang X-RQ. Comparative study of the in vitro and in vivo characteristics of cationic and neutral liposomes. Int J Nanomedicine 2011; 6: 3087.
<https://doi.org/10.2147/IJN.S25399>
PMid:22163162 PMCID:PMC3235029
- [22] Danhier F, Feron O, Préat V. To exploit the tumor microenvironment: passive and active tumor targeting of nanocarriers for anti-cancer drug delivery. J Control Release 2010; 148: 135-146.
<https://doi.org/10.1016/j.jconrel.2010.08.027>
PMid:20797419
- [23] Shamsi F. Nanotechnology application in cancer treatment. Koomesh 2019; 21: 579-589. (Persian).
- [24] Celia C, Trapasso E, Locatelli M, Navarra M, Ventura CA, Wolfram J, et al. Anticancer activity of liposomal bergamot essential oil (BEO) on human neuroblastoma cells. Colloids Surf B Biointerfaces 2013; 112: 548-553.

پژوهش حاضر هر چند منتهی به فرمولاسیون لیپوزومی حاوی اسانس *Trachyspermum ammi* با ویژگی‌های فیزیوشیمیایی مناسب گردید، اما همانند بسیاری از پژوهش‌ها بدون نقص و کاستی نمی‌باشد. عدم ساخت و بررسی فرمولاسیون‌های متعدد لیپوزومی با درصد مولی متفاوتی از لیدهای بهکار رفته در ساختمان آن‌ها، عدم بررسی رهایش اسانس در اسیدیته و دماهای متفاوت و عدم بررسی پایداری سامانه‌ی لیپوزومی حاوی اسانس از جمله مهم‌ترین کاستی‌های پژوهش حاضر می‌باشد که انجام آن توسط نویسنده‌گان، به پژوهشگران بعدی پیشنهاد می‌شود.

در پژوهش حاضر سامانه‌ی لیپوزومی حاوی اسانس *Trachyspermum ammi* فیزیوشیمیایی آن مورد ارزیابی قرار گرفت، درصد درون‌گیری بالا، رهایش کنترل شده اسانس در شرایط تعیین شده، آنسونی بودن نانوسامانه حاوی اسانس و موفولوژی مناسب ذرات از جمله شاخصه‌های مناسب سامانه‌ی لیپوزومی حاوی اسانس در پژوهش حاضر می‌باشد، بنابراین می‌توان این سامانه لیپوزومی حاوی اسانس *Trachyspermum ammi* بررسی‌های بیشتر به منظور مبارزه با انگل تریکوموناس واژینالیس پیشنهاد نمود.

تشکر و قدردانی

بدین‌وسیله از همکاری علمی شرکت ریز زیست فناوران فردانگر در انجام پژوهش حاضر سپاس‌گزاری می‌شود.

منابع

- [1] Haghroalsadat F, Azhdari M, Oroojalian F, Omidi M, Azimzadeh M. The chemical assessment of seed essence of three native medicinal plants of Yazd province (*bunium premium*, *cuminum cyminum*, *trachyspermum copticum*) and the comparison of their antioxidant properties. SSU J 2015; 22: 1592-1603. (Persian).
- [2] Dubey NK, Kumar R, Tripathi P. Global promotion of herbal medicine: India's opportunity. Curr Sci 2004; 86: 37-41.
- [3] Eblagh N, Fateh E, Farzaneh M, Osfuri M. Effect of cattle manure application, phosphate solubilizing bacteria and different phosphorus levels on yield and essence components of *trachyspermum ammi* L. J Agricul Sci Sustain Product 2014; 23: 1-15. (Persian)
- [4] Jeet K, Devi N, Narendra T, Sunil T, Lalit S, Raneev T. *Trachyspermum ammi* (ajwain): a comprehensive review. Int Res J Pharmacy 2012; 3: 133-138.
- [5] Dwivedi SN, Mishra RP, Alava S. Phytochemistry, pharmacological studies and traditional benefits of *Trachyspermum ammi* (Linn.) Sprague. Int J Pharmacy Life Sci 2012; 3: 1705-1709.
- [6] Chauhan B, Kumar G, Ali M. A review on phytochemical constituents and activities of *Trachyspermum ammi* (L.) Sprague fruits. Am J Pharmtech Res 2012; 2: 329-340.
- [7] Moein MR, Zomorodian K, Pakshir K, Yavari F, Motamed M, Zarshenas MM. *Trachyspermum ammi* (L.) sprague: chemical composition of essential oil and antimicrobial activities of respective fractions. J Evid Based Complementary Altern Med 2015; 20: 50-56.
<https://doi.org/10.1177/2156587214553302>

[29] Gharenaghadeh S, Samadlouie HR, Sowti M, Hamisekar H, Mokaram RR. Evaluation of the antimicrobial and antioxidant properties of *Salvia* essential oil nano liposome (*Salvia multicaulis*). JFST 2017; 14: 271-282. (Persian).

[30] Naderinezhad S, Haghjalsadat BF, Amoubedini G, Naderinezhad A, Esmaili Z, Akbaezadeh A. Synthesis of biodegradable and self-assembled anionic nano-carrier: Novel approach for improvement of Curcumin- delivery to bone tumors cells & Mathematical modeling of drug-release kinetic. New Cell Mol Biotechnol J 2017; 7: 77-84. (Persian).

[31] Abdolmaleki N, Javani Jouni F, Abdolmaleki P, abdolmaleki Z. Assessment of anticancer properties of *Rosmarinus officinalis* L extract and gamma rays on cell viability of MCF-7, SKBR3, and HU02 cell lines. Pathobiol Res 2017; 20: 23-36. (Persian).

[32] Karimi-Moghdam A, Nikounahad-Lotfabadi N, Haghjalsadat BF, Majdizadeh M. Investigating the effect of lipid nanoparticles containing silibinin anti-cancer drug on the growth of breast cancer MCF-7 cell line. J Torbat Heydariyeh Univ Med Sci 2019; 6: 1-2. (Persian).

<https://doi.org/10.1016/j.colsurfb.2013.09.017>

PMid:24099646

[25] Haghjoo S, Ghanbarzadeh B, Hamishekar H, Asnaashari S, Dehghannia J. Evaluation of colloidal and antioxidant properties of nano liposomes containing nettle extract. Innov Food Technol 2015; 2: 11-23. (Persian)

[26] Sahra Bashiri, Ghanbarzadeh B, Hamishekar H, Dehghannya J. Beta-Carotene loaded nanoliposome: effects of gama -oryzanol on particle size stability and encapsulation. J Res Innov Food Sci Technol 2015; 4: 365-382. (Persian).

[27] Ebrahimi Khousfi M, Khosravi darani K, Hoseini H, Arabi S, Kamali Fonoud R, Kouhi Kamali P. Production of nanoliposomes containing essential oil of Boiss Zatariamultiflora by response surface method. Nano Scale 2014; 1: 119-128. (Persian).

[28] Cui H, Zhao C, Lin L. The specific antibacterial activity of liposome-encapsulated Clove oil and its application in tofu. Food Control 2015; 56: 128-134.

<https://doi.org/10.1016/j.foodcont.2015.03.026>

Fabrication and characterization of liposomal nano-carriers containing essential oils of *Trachyspermum ammi* to counteract *Trichomonas vaginalis*

Farzaneh Mirzaei (Ph.D)¹, Mohammad Majdizadeh (M.Sc)², Ali Fatahi-Bafghi (Ph.D)¹, Raheleh Ehsani (M.Sc)³, Bibi Fatemeh Haghirsadat (Ph.D)^{*4}

1 - Dept of Parasitology and Mycology, School of Medicine, Shahid Sadoughi University of Medical Sciences, Yazd, Iran

2 - Cellular and Molecular Biology, Dept. of Nano-Biotechnology, Nano-Biotech Foresight Company, Science & Technology Park of Yazd, Yazd, Iran

3- Biochemistry, Medical Nanotechnology&Tissue Engineering Research Center, Yazd Reproductive Sciences Institute, Shahid Sadoughi University of Medical Sciences, Yazd, Iran

4- Medical Nanotechnology & Tissue Engineering Research Center, Yazd Reproductive Sciences Institute, Shahid Sadoughi University of Medical Sciences, Yazd, Iran

* Corresponding author. +98 9132507158 Fhaghirosadat@gmail.com

Received: 28 Sep 2019; Accepted: 23 Aug 2020

Introduction: Annually, a large part of the world population is infected with trichomoniasis. On the other hand, the common medicines used to treat this disease can have many side effects. The aim of the present study was to construct a liposomal system containing essential oil of *Trachyspermum ammi* and investigate its physicochemical properties to combat trichomoniasis infection.

Materials and Methods: Liposomal vesicles were prepared using phosphatidylcholine (70%) and cholesterol (30%) by thin film method. In addition, the essential oil of *Trachyspermum ammi* was loaded into liposomes and the encapsulation efficiency of essential oil was calculated. Then, the size, surface charge and particle morphology of this system were investigated using Zeta Sizer and Atomic Force Microscopy and pattern of essential oil release was evaluated at 35 °C and pH = 6 for 24 h.

Results: Liposomal vesicles containing essential oil had a size of 110.1 nm, 40.12±2.71% essential oil loading, and zeta potential of -9 mV. The liposomal system is controlled release and releases all essential oils within 24 hours. Atomic force microscopy also confirmed the formation of liposomes and appropriate particle morphology.

Conclusion: In the present study, the liposomal system containing the essential oil of *Trachyspermum ammi* had a relatively high loading percentage and surface charge verification confirmed that the nano-carrier is anionic. Thus, given the slow and complete release of the essential oil within 24 hours, this liposomal nano-carrier can be a suitable carrier for delivering the essential oil to Trichomoniasis parasite.

Keywords: Liposome, Nanostructures, *Trichomonas vaginalis*, *Trachyspermum ammi*, Medicinal Plants.